

# 接收、放大設備 噪聲系數的測量

A. Д. 庫茲明 著

科学出版社

接收、放大設備  
噪聲系數的測量

A. Д. 庫茲明 著

李 幼 平 譯

張 志 誠 校

科 學 出 版 社

1960

А. Д. КУЗЬМИН  
ИЗМЕРЕНИЕ КОЭФФИЦИЕНТА ШУМА  
ПРИЕМНО-УСИЛИТЕЛЬНЫХ УСТРОЙСТВ

Госэнергоиздат, 1955

### 內容簡介

噪声系数是现代超高頻接收机与寬頻帶放大器最重要的指标之一。本书討論接收、放大设备噪声系数的测量方法，并给出各种类型的校准信号发生器的线路图及简单結構圖。最后，还敘述了噪声系数量測的一些特殊問題。

本书适用于无线电工程师与技术人員。

### 接收、放大設備 噪 声 系 數 的 測 量

A. Д. КУЗЬМИН 著  
李 幼 平 譯  
張 志 誠 校

\*

科 學 出 版 社 出 版 (北京朝阳门大街 117 号)

北京市书刊出版业营业許可證出字第 061 号

中国科学院印刷厂印刷 新华书店總經售

書

1960 年 4 月第一版  
1960 年 4 月第一次印刷  
(京) 0001—13,000

书号：2168 字数：43,000  
开本：737×1092 1/27  
印张：2 4/27

定价：0.33 元

## 前　　言

噪声系数是表示接收、放大设备质量最重要的参数。但是，有关这个参数的量测问题，在文献中至今尚未得到详尽和系统的阐述。

本书试图有系统地和尽可能全面地叙述有关噪声系数实际量测的一些最重要的问题。同时还引用了国内外杂志已经发表了的和本书作者所得出的一些资料。

作者谨向 С. Э. 哈依金 (Хайкин) 和 А. Е. 沙罗蒙諾维奇 (Саломонович) 二位教授致深切的谢意，因为他们审阅了本书的手稿并提供了许多宝贵的意见。

作　　者

# 目 录

前言	i
第一章 緒論	1
第二章 被測設備輸出端功率的測量	6
I. 电子管伏特計	7
1. 被測接收机直讀式检波器	7
2. 被測接收机带有放大器的检波器和在示波器上的觀測	10
3. 测量噪声系数的专用电子管伏特計	10
II. 热敏电阻的电桥線路	14
第三章 校准信号发生器	16
1. 总述	16
I. 正弦波信号发生器	18
2. 用电压校准的标准信号发生器	18
3. 用 CT-1 型信号发生器测量噪声系数的特点	20
4. 用功率校准的正弦波信号发生器	21
II. 噪声信号发生器	22
5. 总論	22
6. 噪声二极管	23
7. 用噪声二极管的噪声信号发生器線路	25
8. 用噪声二极管的噪声信号发生器实用線路及其結構	31
9. 热噪声源	35
10. 晶体管噪声发生器	36
11. 速調管噪声发生器	38
12. 气体放电噪声发生器	39
第四章 噪声系数量測的概述及其特殊問題	43
1. 概述	43
2. 具有对称输入的设备噪声系数的量測	43
3. 对通过鏡象波道的考慮	45

4. 調頻接收机噪声系数的測量 .....	46
5. 在設備正常工作過程中連續監察噪声系数的方法 .....	46
參考文獻.....	50

# 第一章 緒論

极限灵敏度是接收、放大设备的重要参数之一，它决定了该设备发现微弱信号的能力。极限灵敏度的定义是：当设备的输出端获得一定的信号功率与噪声功率的比值时，输入端所必需的最小信号功率。极限灵敏度的数值，取决于接收、放大设备内部产生的噪声电平，以及外部作用于该设备的噪声电平。内部噪声包括设备内元件（电子管、迴路、电阻）的热噪声和散弹噪声。外部噪声包括：工业与天电干扰以及由于太阳、银河等无线电辐射所产生的噪声。噪声电平愈低，设备输入端能发现的信号也就愈微弱。也就是说，这个设备的极限灵敏度就愈高。

在超高频（米波及更短的波长）段里，外部噪声电平很小，因而极限灵敏度基本上是由内部噪声决定的。

整个接收、放大设备以及它的个别元件的内部噪声数值，一般用噪声系数  $F$  来说明。在很多著作中<sup>[1,2,4]</sup>都给噪声系数下了定义。噪声系数是指：在实际设备的线性部分输出端的噪声功率与信号功率的比值要比理想的、无噪声的设备的这个比值要大多少倍<sup>1)</sup>。

这里所指的理想无噪声的设备，它和实际设备的区别在于，前者没有寄生波道的接收，而且，除了信号源的噪声等于信号源输出电阻在标准温度  $T_0 = 290^\circ\text{K}$  时的噪声外，设备的所有元件（电子管与迴路）都不产生噪声。

在数学上，噪声系数可用下列任一公式表示：

$$F = \frac{\left(\frac{P_{uu}}{P_c}\right)_{\text{bbix}}}{\left(\frac{P_{uuA}}{P_c}\right)_{\text{bbix}}} ; \quad (1)$$

1) 非线性系统当破坏概率分布的正态律后，会改变噪声的性质，因此，在非线性系统的输出端决定噪声性质时，要经过专门的分析。

$$F = \frac{\left(\frac{P_c}{P_{w\text{ 实 }}}\right)_{\text{вых}}}{\left(\frac{P_c}{P_{w\text{ 理 }}}\right)_{\text{вых}}} ; \quad (2)$$

$$F = \left(\frac{P_{w\text{ 实 }}}{P_{w\text{ 理 }}}\right)_{\text{вых}} ; \quad (3)$$

$$F = \frac{\left(\frac{P_c}{P_{w\text{ 实 }}}\right)_{\text{вх}}}{\left(\frac{P_c}{P_{w\text{ 理 }}}\right)_{\text{вых}}} ; \quad (4)$$

在这些公式中，引用了下列符号：

$P_c$ ——信号功率；

$P_w$ ——实际设备的噪声功率；

$P_{w\text{ 理 }}$ ——理想设备的噪声功率。

脚注  $\text{вых}$  表示在设备输出端被测定的数值；脚注  $\text{вх}$  表示在输入端被测定的数值。

任何接收、放大设备都具有有限的通频带，在这个通频带内，信号与噪声的比值并非恒定不变。因此，应该把某一个频率上的噪声系数和某一频带内的平均噪声系数的概念区别开来。

下面，我们将把频带内的平均噪声系数一律简称为噪声系数。

在知道了设备的线性部分输出端允许的信号噪声  $\left(\frac{P_c}{P_w}\right)_{\text{вых доп}}$

后，就很容易确定它的极限灵敏度  $P_{c\text{ вх мин}}$ 。的确，将(4)式变化后，即得：

$$P_{c\text{ вх мин}} = \left(\frac{P_c}{P_w}\right)_{\text{вых доп}} \cdot P_{w\text{ вх}} \cdot F.$$

考虑到信号源内阻  $R_H$  所产生的输入端热起伏噪声功率，在匹配的条件下达最大值，并等于：

$$P_{w\text{ вх согл}} = \frac{U^2_w}{4R_H} = \frac{4kT_0 R_H \Delta f_s}{4R_H} = kT_0 \Delta f_s,$$

于是，得出下列确定极限灵敏度的公式：

$$P_{c \text{ вх мин}} = \left( \frac{P_c}{P_{uu}} \right)_{\text{вых доп}} \cdot k T_0 \Delta f_s \cdot F, \quad (5)$$

式中  $k = 1.38 \times 10^{-23}$  焦耳/度——即波耳茲曼常数；

$T_0 = 290^{\circ}\text{K}$ ；

$\Delta f_s$ ——等效噪声通頻帶<sup>1)</sup>；

$F$ ——噪声系数。

从雷达作用距离的公式<sup>[5]</sup>中，也很明显地可以看出  $F$  是一个很重要的參量：

$$r_{\max} = \sqrt[4]{\frac{P_{nep} \cdot S_{nep} \cdot S_{np} \cdot S_{\phi}}{F \cdot k T_0 \Delta f_s}} = a \sqrt[4]{\frac{P_{nep}}{F}}. \quad (6)$$

式中  $r_{\max}$ ——雷达的作用距离；

$P_{nep}$ ——发射机功率；

$S_{nep}$ ——发射天綫有效面积；

$S_{np}$ ——接收天綫有效面积；

$S_{\phi}$ ——目标物有效面积；

$a$ ——比例系数。

在作用距离公式里，噪声系数  $F$  和发射机功率  $P_{nep}$  以及收、发天綫的有效面积具有同等重要的地位，即減少  $F$  值相当于增加了发射机的功率。

由于人們对改善噪声系数的重視，因此，有必要來研討簡單可靠的噪声系数測試方法。

噪声系数的測量，是建筑在噪声系数的某一輔助定义之上的，根据这个定义，噪声系数指：被測接收、放大設備的噪声功率要比一个理想无噪声的設備（它的噪声只由信号源电阻的热起伏产生）的噪声功率大几倍，即：

$$F = \frac{P_{uu}}{P_{uu \text{ идеал}}}. \quad (7)$$

上式只适用于設備輸出端的噪声功率之比。但是，对輸入端

1) 等效噪声通頻帶的定义見第三章第一节。

來說也可以是正确的，只要把接收、放大设备內所有实际的内部噪声源用一个等效的、接在輸入端的噪声源来代替，这个噪声源的輸出电阻等于信号源的输出电阻，而且，它在设备輸出端所产生的噪声功率等于实际噪声源所产生的功率。

用  $P_{\mu}$  和  $P_{\mu c}$  分別表示由輸入端等效噪声源和信号源內阻的热起伏所产生的噪声功率，则可将(7)式改写为：

$$F = \frac{P_{\mu}}{P_{\mu c}}, \quad (8)$$

这个式子适用于任何形式的、信号源和被測设备的連接电路，当然，也适用于匹配情况，即：

$$F = \frac{P_{\mu c o r r}}{P_{\mu c c o r r}}, \quad (9)$$

在匹配負載上的热噪声功率等于：

$$P_{\mu c c o r r} = kT_0\Delta f_s, \quad (10)$$

所以

$$F = \frac{P_{\mu c o r r}}{kT_0\Delta f_s}. \quad (11)$$

此式是测量接收、放大设备噪声系数的起始依据。

等效噪声功率  $P_{\mu}$ ，是通过比較设备內部噪声在輸出端所产生的效应和輸入端加上了校准信号后輸出端所产生的效应而确定的。

最简单而且方便的方法，是功率倍增法。用此法量測噪声系数时，在被測设备的輸入端加上一个信号功率  $P_c$ ，調節該功率的数值，使设备輸出端产生的功率比只有内部噪声时大一倍。显然，这时的校准信号功率恰等于内部噪声功率，即：

$$P_c = P_{\mu}. \quad (12)$$

于是，噪声系数的基本公式在这时改为

$$F = \frac{P_c c o r r}{kT_0\Delta f_s}. \quad (13)$$

輸出端的功率不一定要增加一倍。在一般情况下，輸出功率

可增至任意倍数。这时，等效的内部噪声功率可按下列公式計算：

$$P_{\mu u} = \frac{P_e}{M - 1}, \quad (14)$$

式中  $M$  —— 加上校准信号后，输出功率为原有噪声功率的倍数\*。

一般情况下，噪声系数由下式决定：

$$F = \frac{P_{c coz,i}}{k T_0 \Delta f_s (M - 1)}. \quad (15)$$

在可能条件下， $M$  的数值不宜选得太小，因为这会降低讀数的精确度；但也不能选得太大，因为会超过振幅特性的綫性范围。一般說，若用  $M = 2$ ，可以同时滿足上述要求，也簡化了計算公式。

某些类型的信号发生器（例如，气体放电管及加热負載等），通常用相对噪声温度的单位  $\gamma$  来校准， $\gamma$  指：发生器在匹配情况下的功率，要比当标准温度  $T_0 = 290^{\circ}\text{K}$  时匹配电阻产生的噪声功率大多少倍。

当信号发生器用相对噪声温度的单位校准时，它的噪声系数可用下列简单的式子求得：

$$F = \frac{\gamma - 1}{M - 1}. \quad (16)$$

从确定噪声系数的起始公式(13), (15), (16)的探討中，可以得出下面的結論，即噪声系数量測的任务可归結为以下三个局部任务：

- 1) 被測設備輸出端功率的測量；
- 2) 校准信号发生器的功率或噪声温度的确定。

本书中所叙述的原理和方法，不仅适用于噪声系数的測量，而且还适用于接收、放大設備中其他噪声的測量，如电子管、半导体、宇宙无线电等噪声的測量。

\* 例如，在功率倍增法中， $M = 2$  ——譯者注。

## 第二章 被測設備輸出端功率的測量

在測量噪声系数时，必須確定輸入端在加入校准信号后，被測設備的輸出功率要比只有內部噪声引起的輸出功率大几倍。因而，問題可局限于相对功率的測量。

功率應該在被測設備線性部分的輸出端上进行比較，即通常是在中頻放大器的輸出端上进行比較。通常采用电子管伏特計或热敏电阻电桥線路来相对測量中頻放大器的輸出功率。

應該指出，在量測輸出功率时，所遇到的与被測量的噪声(起伏)特性有关的一些特点，这些特点是：

1. 被測設備輸出端的噪声功率，是在其平均值附近杂乱无章地隨時間而变化的，而这个平均值才是我們所要量測的噪声功率。所以，一般說來，某一瞬間內所察得的噪声功率可以是任意的数值。为了获知噪声功率的真实值，就必須在无限大的時間內进行測量，并取它的平均值作为結果。为此目的，就必須采用具有无限大時間常数的仪表。

实际上，量測仪表的時間常數是有限的。因此，可以覺察到輸出端仪表的指針将在被測值的均方值附近作統計的摆动。这种摆动限制了噪声功率量測的精密度。可以證明<sup>[7]</sup>，在均方值附近摆动的平均幅度反比于被測設備通頻帶寬度和測量仪表時間常數乘积的平方根。

当被測設備具有窄的通頻帶时，在实际量測中可觀察到輸出仪表的讀数在其平均值上下波动。在这种情况下，應該增加輸出仪表的時間常數。

2. 噪声信号发生器或正弦波信号发生器都可以作为校准信号发生器。

当采用噪声信号发生器时，它的信号与被測試的噪声具有相

同的(噪声的)性质。因此，可以在输出端采用任何测量噪声均方值、平均值或峰值的仪表。但是，必须指出：

a) 因为噪声的峰值要比它的均方值大得多，因此指示均方值的仪表往往会在满刻度处出现过载现象。

6) 用峰值电表更易产生误差，因为，噪声在通过被测设备时，它的峰值有可能被切除。

在采用正弦波发生器的情况下，应该考虑到信号与噪声的性质是不同的。为了对噪声与信号有相同的反应，应该采用测量均方值用的仪表。

测试设备的选择决定于被试设备的线路和对量测精确度的要求。

## I. 电子管伏特计

恒定负载上的功率正比于负载两端的电压平方。这样，就可以用对电压平方比值的测量来代替功率比值的测量。

必须在设备线性部分(即中频放大器)的输出端上进行电压和功率的测量。

可以用被测接收机的检波器或者专门用来测量的电压表来作为电压表。

### 1. 被测接收机直读式检波器

若不要求太高的测量精确度，在调整与测试接收、放大设备时，可以建议用被测接收机的检波器来作为测量输出功率的仪表，此时，线路无须进行改装。

加上校准信号后，输出功率比仅有内部噪声时的功率所增加的数值，通常用一微安表来指示，该表与检波器的负载串联，是用来量测检波电流的。

检波器检波后的电流与加于检波器输入端的信号功率有关。这个关系具有下列的形式：

a) 平方律检波器时

$$I_0 = b P_{\text{in}} \left( 1 + \frac{R_c}{P_{\text{in}}} \right), \quad (17)$$

式中  $I_0$ ——检波器的检波电流；

$P_c$ ——检波器输入端的信号功率；

$P_{\text{in}}$ ——检波器输入端的内部噪声功率；

$b$ ——常数。

### 6) 线性检波器时

$$I_0 = A e^{-\frac{\alpha^2}{2}} \left[ (1 + \alpha^2) I_0 \left( \frac{\alpha^2}{2} \right) + \alpha^2 I_1 \left( \frac{\alpha^2}{2} \right) \right], \quad (18)$$

$$\alpha = \frac{U_c}{U_{\text{in}}},$$

式中  $A$ ——常数；

$U_c$ ——检波器输入端的信号电压；

$U_{\text{in}}$ ——检波器输入端的内部噪声电压；

$I$ ——虚自变数的贝塞尔函数。

上述关系如图 1 所示。

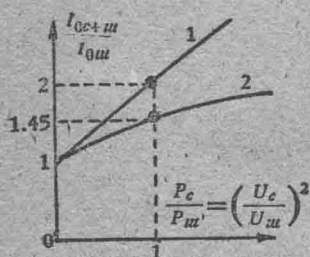


图 1 检波电流  $I_0$  与信号功率的关系。

1——平方律检波器；

2——线性检波器。

由图得知：平方律检波器时，若功率增加一倍，则检波电流也增加一倍；而线性检波时，功率增加一倍，检波电流增加 1.45 倍。

为了确定检波器特性的实际形状，应该测出加于检波器的功率（或电压的平方）与检波电流的关系曲线。为此，必须先将接收机的放大量减少，使得测量检波电流仪表的指针不会由于内部噪声的作用而有所偏移。然后，把校准信号加在被测设备的输入端，建立检波器检波电流和输入功率的关系曲线。（当采用电压刻度的信号发生器作为校准信号源时，建立检波电流与输入电压平方的关系。）曲线的起始部分，相当于检波特性的平

测设备的输入端，建立检波器检波电流和输入功率的关系曲线。（当采用电压刻度的信号发生器作为校准信号源时，建立检波电流与输入电压平方的关系。）曲线的起始部分，相当于检波特性的平

方律部分。可以不必把全部特性曲线都画出来，而只在两点上测量检波电流：一点是相当于内部噪声功率处，另一点是比内部噪声功率增加一定倍数的地方。但是，在此以后的所有测量都應該調整出同样数值的电流。

在不可能用实验方法确定检波器特性曲线的情况下，可以按检波器上电压的数值来确定这个特性曲线的形状。二极管检波器在输入电压  $U_{maxc} \leq 0.25$  伏时，一般可以认为是平方律检波；而  $U_{maxc} > 1$  伏时，可以认为是线性检波。检波器输入端电压  $U_{maxc}$  的数值，可以由检波器负载上检波后的电压数值  $U_0$  来确定：

$$U_{maxc} = \frac{U_0}{k_d}, \quad (19)$$

式中  $k_d$ ——检波器的传输系数。

用检波电流  $I_0$  与负载电阻  $R_u$ <sup>1)</sup> 来计算检波电压  $U_0$ ：

$$U_0 = I_0 \cdot R_u,$$

从上式得：

$$U_{maxc} = \frac{I_0 \cdot R_u}{k_d}. \quad (20)$$

为了近似估计  $U_{maxc}$  的数值，可以取检波器的传输系数  $k_d = 0.8$ 。

在粗略测量时，一般可以不知道检波器特性曲线的形状，而当检波器输出电流增至 1.7 倍时，认为输出功率增加一倍。在这种情况下，由于功率倍增指示的错误，噪声系数量测的误差可达 50%。

可見，在测量噪声系数时，采用被测接收机检波器来指示输出功率的基本缺点是：量測結果与检波器特性的形状有关，不正确的输出端倍增功率讀數会影响噪声系数的量測誤差。

沒有信号时，检波器一般仍具有起始电流。这一起始电流是可以被补偿的。只要用一单独的电源产生一个与起始电流数量相等方向相反的电流，通过微安表就可以了。若不补偿，则必須将电

1) 负载电阻應該包括微安表的內阻。

表所测得的检波后电流都减去一个等于起始电流的数值。

## 2. 被測接收机带有放大器的检波器和在示波器上的觀測

前面，我們已經討論了在检波器的負載上(通过检波电流)直接量測检波器的輸出效应的情况。也可以将被比較的信号經過視頻放大后，在示波器上进行信号功率与噪声功率的比較<sup>[13,14]</sup>。

在文献[10,11]中，指出了利用雷达站輸出端常有的电子射綫指示器，来測量雷达接收机噪声系数的可能性。用此法測量时，将矩形脉冲調制校准信号，并在示波器的屏幕上觀察，确定无信号时的噪声电平与有脉冲校正信号时的噪声电平之間的关系。

示波器比較法的主要缺点是，它的精确度很差。这是“噪声电平”很难正确确定之故。因为，噪声电平的确定和示波器电子射綫管的聚焦与亮度，觀察員的主觀特点及其他許多因素有关。因此，上述方法只能用来約略估計噪声系数的数值。

## 3. 測量噪声系数的专用电子管伏特計

如前所述，在測量噪声系数时，用被測接收机的检波器来測量輸出功率，由于它不能正确确定功率增加的情况，所以具有很大的誤差。为了克服这一缺点，應該采用特性已知的检波器。而且，若用平方律特性的检波器将有更多的方便，因为它的检波电流与輸入端电压的平方成正比。这样，就使被測功率比值的确定得以簡化。此外，平方律检波器对噪声与正弦波信号的检波規律是相同的，这将使采用正弦波信号发生器进行量測时感到方便。

下面举出二种电子管平方律检波器的綫路。

### a) 二极管平方律检波器

一般的二极管平方律检波器(尤其是灯絲用交流供电时)都具有較大的起始电流。由于这个原因使我們未能利用具有平方律規律的二极管特性曲綫的起始部分。因而，要获得平方律的检波特性，就必须补偿二极管的起始电流。将与起始电流方向相反的电

流流經負載和電表，就可以實現這個補償。為了獲得完全的補償，反向電流的數值應該等於二極管的起始電流。

專用的干電池可以作為反向電流的電源。但是，在這種情況下，當二極管燈絲電壓變化時，起始電流也隨其變化，從而破壞了補償作用。圖2所示的雙二極管電路沒有上述缺陷。在這個電路里，一個二極管的起始電流被另一管的起始電流抵消了：

兩個二極管是這樣連接的，它們的電流在負載與量測儀表中方向相反。當燈絲電壓變化時，起始電流的變化相同，因而補償並沒有被破壞。只不過是應該選用二半特性完全相同的雙二極管。

為了確定檢波器的平方律特性範圍，應該用前面說過的方法測出檢波器的特性曲線。

### 6) 屏極平方律檢波器

屏極平方律檢波器的簡化後的線路圖如圖3所示。

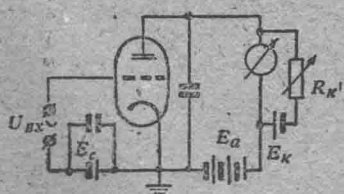


圖3 具有補償電路的屏極  
平方律檢波器簡圖。

最簡單的補償線路，是由通過可變電阻  $R_K$  與電表相連接的電池  $E_K$  构成（見圖3）。

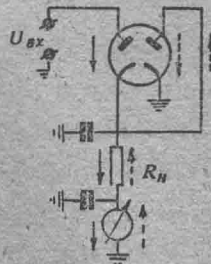


圖2 具有起始電流補償的  
二極管平方律檢波器線路。

檢波器的屏極電流包括直流分量  $I_0$ （工作點的靜態電流），輸入信號引起的直流分量增量  $\Delta I$  以及高頻分量。

當檢波器的輸入端沒有信號（檢波器的輸入端短接）時，屏極電流直流分量  $I_0$  通常被補償掉，即使得輸出儀表的讀數指向零點。